

Н.В. МАРКО, С.В. ШЕВЧЕНКО

Никитский ботанический сад — Национальный научный
центр УААН
пгт Никита, г. Ялта, АР Крым, 98648, Украина
Shevchenko_nbs@ukr.net

ОСОБЕННОСТИ МУЖСКОЙ ГЕНЕРАТИВНОЙ СФЕРЫ У *PAEONIA TENUIFOLIA* L. (*PAEONIACEAE*)

Ключевые слова: *Paenonia tenuifolia*, цветок, микроспорангий, спорогенная ткань, микроспороциты, микроспоры, пыльцевые зёрна

Paenonia tenuifolia L. (сем. *Paenoniaceae*) относится к редким и охраняемым видам растений [8, 21]. В природе и при интродукции вид возобновляется преимущественно семенным путём, на коллекционных участках способен образовывать устойчивые популяции с тенденцией к увеличению числа особей [6, 7, 10, 13, 19]. В естественных условиях предгорной и горной зон Крыма *P. tenuifolia* образует нормальные, дефинитивные, неполночленные ценопопуляции с высокой всхожестью семян, однако его реальная семенная продуктивность близка к критической (25—45 %), что определяет необходимость выявления особенностей всех этапов репродуктивного процесса [12]. Общеизвестно, что от достаточного количества жизнеспособной пыльцы зависит успех опыления и вероятность оплодотворения наибольшего числа семяпочек. *P. tenuifolia* цветет в Крыму в апреле—мае при среднесуточной температуре воздуха +3—15 °C. Основные способы опыления — энтомофилия и кантарофилия, основной тип — аллогения, хотя при отсутствии насекомых-опылителей возможна автогенация: раскрытие пыльники внутреннего круга тычинок наклоняются к рыльцам, обильно посыпая их собственной пыльцой [11].

Особенности развития мужской генеративной сферы у видов рода *Paenonia* L. рассматривали М.С. Яковлев [27] и Е.Л. Кордюм [9]. М.С. Яковлев детально описал и проиллюстрировал микроспоро-, микрогамето- и микрогаметогенез *P. anomala* [27], в работе Е.Л. Кордюм представлены основные эмбриологические признаки *P. tenuifolia* с точки зрения их использования для систематики семейства *Ranunculaceae* и выделения рода *Paenonia* L. в отдельное семейство [9]. У видов рода *Paenonia* L. установлен особый тип эмбриогенеза, характеризующийся ценоцитной стадией развития проэмбрио и формированием на его основе многочисленных зародышей [25], поэтому основное внимание эмбриологов привлекали вопросы развития женской генеративной сферы, оплодотворения и эмбриогенеза у разных видов рода: *P. decora* Anders., *P. coralline* Retz, *P. tenuifolia* L., *P. anomala* L., *P. lactiflora* Pall., *P. californica* Torrey & Gray [2, 3, 14, 22, 26—29, 31, 35].

© Н.В. МАРКО, С.В. ШЕВЧЕНКО, 2008

Мы изучали особенности естественного возобновления *P. tenuifolia*, включая все этапы репродуктивного процесса. В статье представлены результаты исследования развития мужской генеративной сферы.

Материалы и методы исследования

Изучали особи ценопопуляции *P. tenuifolia* в с. Лозовое Симферопольского р-на (2003—2005 гг.), которая расположена в предгорной зоне Крыма на склонах северной и южной экспозиций холмов высотой около 200—300 м над у.м. Эта территория относится к нижнему предгорному агроклиматическому району, к северному подрайону с полузасушливым теплым летом (средняя температура июля +19,4—22,0 °C) и мягкой, умеренно тёплой зимой (средняя температура января —0,5—1,5 °C) [1, 4]. Постоянные препараты готовили по общепринятым методикам [16]. Фиксацию почек возобновления, бутонов разной величины и цветков проводили смесью Карнума (6:3:1) и фиксатором Чемберлена (90:5:5). Длительность фиксации смесью Карнума составляла 8—10 часов для почек возобновления, покрытых почечными чешуйками, 3 часа — для почек без чешуй, 6 часов — для бутонов и цветков, после чего объекты переносили в 70 %-й спирт. Срезы толщиной 10—12 мкм выполняли с помощью ротационного микротома марки МРТУ. Препараты окрашивали метиловым зелёным и пиронином с подкраской алциановым синим и гематоксилином по Гейденгайну [16, 23, 24]. Рисунки выполняли с помощью рисовальных аппаратов РА-4 и РА-6 под микроскопом Jenaval фирмы Carl Zeiss, фото — с использованием цифрового фотоаппарата Canon A-80.

Результаты исследований и их обсуждение

В почках возобновления генеративных особей *P. tenuifolia* формируются новые побеги возобновления с одним терминальным цветком. Почки расположены на уровне почвы или на глубине 3—5 см. Андроцей *P. tenuifolia* представлен большим количеством тычинок, которые располагаются по спирали и образуют 3—4 круга. Закладка, формирование и раскрытие пыльников происходят асинхронно, центробежно (рис. 1), что характерно и для других видов рода *Paeonia* [9, 15, 27, 33, 34], и, по мнению К. Шёффеля, является систематическим признаком представителей семейства *Paeoniaceae* [33].

Примордии тычинок закладываются в конце октября в почках возобновления длиной 1,5—1,7 см в год, предшествующий цветению. В меристематическом бугорке микроспорангия четко выражены эпидермис и археспорий, представленный у *P. tenuifolia* несколькими клетками (рис. 2, А). Дифференциация многоклеточного археспория в микроспорангии характерна также для *P. anomala* [27]. Клетки эпидермиса почти квадратные или несколько удлиненные, в процессе развития микроспорангия они увеличиваются в размерах, вакуолизируются и к моменту созревания пыльцы покрываются толстым слоем зубчатой кутикулы. Среди клеток эпидермиса встречаются устьица.

В результате периклинальных делений клеток археспория образуются первичные париетальные и спорогенные клетки (рис. 2, А), которые в дальнейшем формируют первичный париетальный слой и спорогенную ткань.



Рис. 1. Асинхронное раскрытие пыльников в цветке *P. tenuifolia* (нм — наружные тычинки, вт — внутренние)

Fig. 1. Asynchronous dehiscence anthers in *P. tenuifolia* flower (нм — outside stamens, вт — inside stamens)

Календарные сроки развития андроцея *P. tenuifolia* в условиях предгорной зоны Крыма

Сроки прохождения и фенофазы*	Стадия развития андроцея	Длина репродуктивных органов, мм
Третья декада октября, внутрипочечное развитие побегов возобновления	Примордии тычинок, закладка микроспорангииев, дифференциация и деление археспориальных клеток с образованием спорогенных клеток и первичного париетального слоя	Почки возобновления 15,0 ± 0,6—17,0 ± 0,8
Вторая декада февраля, внутрипочечное развитие побегов возобновления	Образование спорогенной ткани, вторичного париетального слоя и тапетума	Почки возобновления 45,0 ± 2,24—50,0 ± 2,37 бутон 5,0 ± 0,21
Вторая—третья декады марта, внутрипочечное развитие побегов возобновления	Формирование эндотекции и среднего слоя	Почки возобновления 35,0 ± 1,7—50,0 ± 2,37 бутон 5,0 ± 0,21—5,5 ± 0,27
Первая декада апреля, выход почек возобновления на поверхность, раскрывание почек	Сформированная стенка микроспорангия	Почки возобновления 45,0 ± 2,24—50,0 ± 2,37 бутон 5,5 ± 0,27—6,0 ± 0,29
Первая—вторая декады апреля, бутонизация	Мейоз	Бутон 8,0 ± 0,38—12,0 ± 0,59
Третья декада апреля, бутонизация	Дифференцирующий митоз в микроспорах	Бутон 12,0 ± 0,59—15,0 ± 0,70
Первая—вторая декады мая, начало цветения	Зрелое пыльцевое зерно, раскрытый пыльник	Бутон 18,0 ± 0,88—22,0 ± 0,97

*фенофазы обозначены согласно [5].

На этой стадии развитие микроспорангии останавливается до середины февраля (таблица).

Во второй декаде февраля спорогенные клетки делятся антиклинально и периклинально, формируя 3—4 слоя спорогенной ткани, представленной крупными пяти-шестиугольными клетками с густой цитоплазмой, большим ядром и ядрышком. Клетки париетального слоя делятся периклинально, продуцируя вторичный париетальный слой и тапетум (рис. 2, *B*, *B*, таблица). Из вторично-го париетального слоя в результате периклинального деления формируются эндотеций и средний слой (рис. 2, *B*, таблица). Затем клетки среднего слоя делятся периклинально один или два раза, образуя дополнительные средние слои. Особенно часто эти деления происходят ближе к связнику, поэтому число слоёв стенки микроспорангия здесь гораздо больше, чем в месте соединения гнезд (рис. 2, *I*). В некоторых случаях наблюдаются периклинальные деления в клетках эндотеция, в результате чего он становится нерегулярно двуслойным.

В первой декаде апреля, ко времени выхода почек возобновления на поверхность почвы (таблица), стенка микроспорангия *P. tenuifolia* полностью сформирована и состоит из эпидермиса, эндотеция, 2—4-х средних слоев и тапетума. Тапетум секреторный, на этой стадии одноядерный, однослойный и полностью окружает спорогенную ткань, цитоплазма его клеток интенсивно окрашивается, содержит крупные ядра (рис. 2, *I*). После прекращения делений клетки спорогенной ткани обособляются с помощью формирующейся каллозной оболочки, а в тапетуме происходят активные митотические деления ядер, часто не сопровождающиеся цитокинезом (рис. 2, *J*). В этот период и во время мейоза активные асинхронные деления тапетума приводят к образованию преимущественно двуядерных клеток, клеток с реституционными и полипloidными ядрами и многоядерных, с числом ядер от трех до шести (рис. 2, *E*—*Z*). Разделившись, ядра тапетума не расходятся, а остаются сближенными (рис. 2, *J*), что у *P. tenuifolia* ранее также наблюдала Е.Л. Кордюм [9], а у *P. anomala* описывал М.С. Яковлев [27]. Позднее тапетальный слой несколько отходит от стенки микроспорангия, его ткань распадается на отдельные клетки (рис. 2, *Ж*), иногда он остается целостным (рис. 2, *З*). Дегенерация тапетума обычно начинается на стадии распада тетрад на отдельные микроспоры со стороны связника, а в случае двурядности тапетума — с наружного ряда клеток, прилегающего к средним слоям.

По мере развития микроспорангия в других слоях его стенки также происходят некоторые изменения. К началу мейоза в центре клеток эпидермиса образуется крупная вакуоль, цитоплазма занимает пристеночное положение, ядра имеют признаки дегенерации. Некоторые клетки эндотеция долго остаются активными, делятся в антиклинальном и в периклинальном направлениях, в результате чего он становится нерегулярно двурядным (рис. 2, *E*). Средние слои представлены вытянутыми клетками, с ядрами эллиптической формы, которые постепенно дегенерируют, начиная от слоя, прилегающего к тапетуму (рис. 2, *E*).

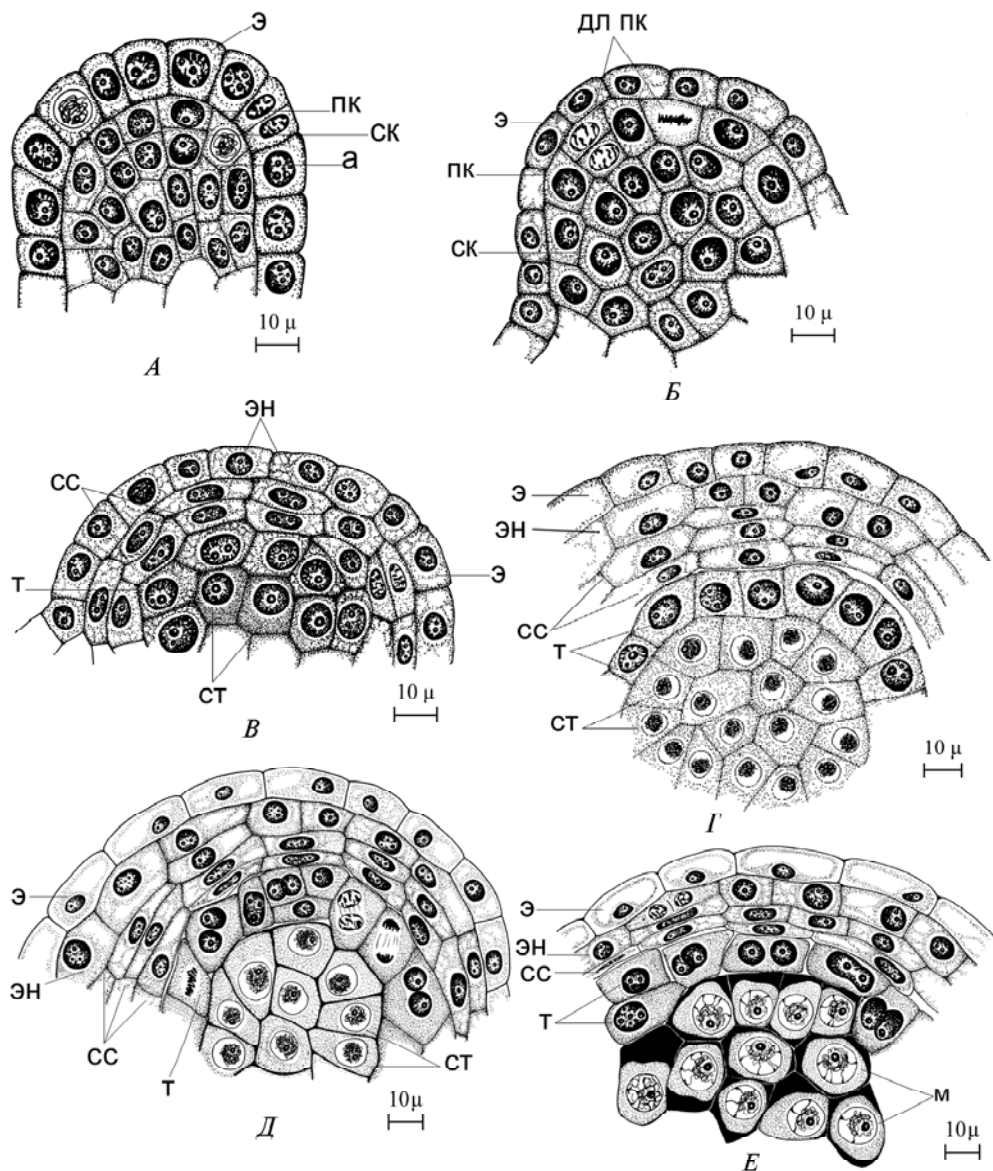
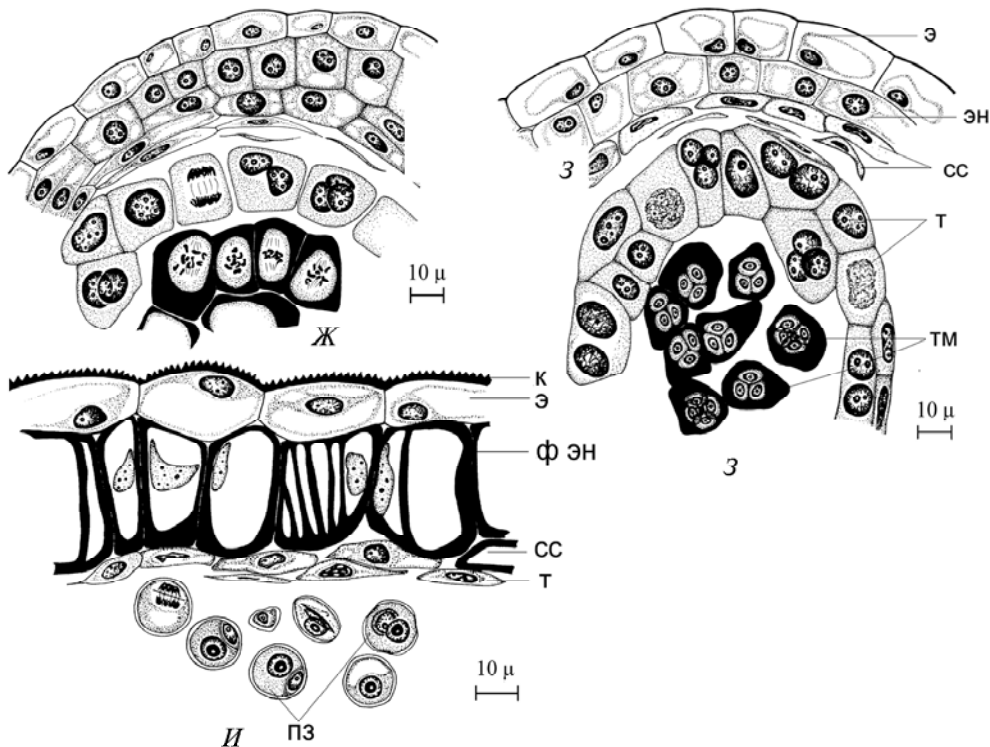


Рис. 2. Фрагменты микроспорангия на разных стадиях развития: *A* — археспория; *Б* — дифференциации тапетума; *В* — образования эндотеция и среднего слоя; *Г* — сформированного микроспорангия; *Д* — обособления клеток спорогенной ткани; *Е* — профазы мейоза; *Ж* — метафазы I; *З* — тетрады микроспор; *И* — дифференцирующее митоз в микроспорах и двухклеточных пыльцевых зернах (Э — эпидермис; а — археспорий; ПК — париетальная клетка; СК — спорогенная клетка; дл ПК — деление париетальной клетки; ЭН — эндотеций; СС — средний слой; Т — тапетум; М — мейоциты; ТМ — тетрады микроспор; ф ЭН — фиброзный эндотеций; пз — пыльцевые зёрна, к — кутикула)

Fig. 2. Fragments of microsporangium on different stages of development: *A* — archesporium; *B* — differentiation of tapetum; *В* — formation of endotecium and middle layer; *Г* — formed microsporangium; *Д* — separation of sporogenous cells; *Е* — meiosis prophase; *Ж* — metaphase I; *З* — tetrads of microspores; *И* — differentiating mitosis in microspores and pollen grains with two cells (Э — epidermis; а — archesporium; ПК — parietal cell; СК — sporogenous cell; дл ПК — parietal cell division; ЭН — endotecium; СС — middle layer; Т — tapetum; М — meiocytes; ТМ — microspore tetrads; ф ЭН — fibrous endotecium; пз — pollen grains, к — cuticle)



Окончание рис. 2.

(division; эн — endotecium; сс — middle layer; т — tapetum; м — microsporocytes; тм — tetrads of microspores; ф эн — fibrous endotecium; пз — pollen grains, к — cuticle)

В первой декаде апреля в бутонах величиной 0,8—1,1 см в пыльниках центрального круга тычинок вокруг микроспороцитов откладывается каллоза. Их ядра к этому времени увеличиваются в размерах, в них становятся видны равномерно расположенные хромосомные нити, что соответствует стадии пахитены профазы I мейоза (рис. 2, Е). Мейоз в микроспороцитах протекает синхронно внутри одного гнезда (рис. 2, Ж), но асинхронно — внутри одного пыльника. В разных гнёздах одного пыльника мы наблюдали следующие стадии деления: в двух гнёздах — телофазу I, в одном гнезде — анафазу I и в одном гнезде — метафазу I. Иногда фиксировали случаи нарушений нормального течения мейоза, которые выражались в выбросе хромосом за пределы метафазной пластинки на стадии метафазы I, отставании при расхождении хромосом на стадии анафазы I (рис. 3, А). После первого деления мейоза клеточные перегородки не образуются, и тетрады микроспор формируются по симультанному типу, который у *P. tenuifolia* описала Е.Л. Кордюм [9], а у *P. anomala* — М.С. Яковлев [27]. Расположение микроспор в тетрадах тетраэдрическое и крестообразное (рис. 2, З).

Вследствие энзиматического растворения каллозной оболочки тетрады [30, цит. по 18] микроспоры отделяются друг от друга, продолжительное время растут,

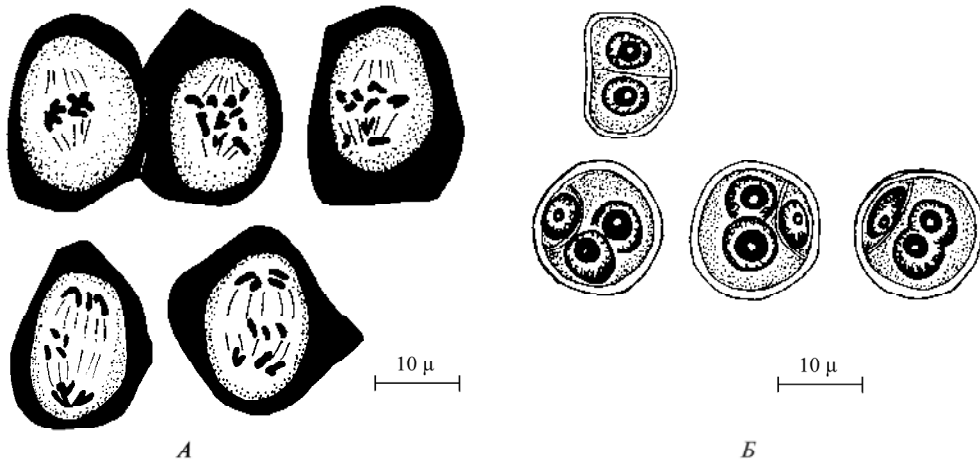


Рис. 3. Нарушения микроспоро- и гаметофитогенеза: *А* — мейоз, *Б* — дифференцирующий митоз

Fig. 3. Violations of microsporo- and gametophytogenesis: *A* — meiosis, *B* — differentiating mitosis

увеличиваясь в размерах и формируя экзину. Внутри микроспоры образуется крупная вакуоль, ядро смещается к оболочке клетки, где происходит дифференцирующий митоз, и в результате последующего цитокинеза образуются две клетки мужского гаметофита: крупная вегетативная и маленькая генеративная (рис. 2, *И*, таблица).

Генеративная клетка от периферии перемещается в центр пыльцевого зерна, постепенно удлиняясь и приобретая сначала вытянутую веретеновидную, а затем — серповидную форму. Зрелые пыльцевые зерна *P. tenuifolia* в норме трехпоровые, трёхбороздные, продолговатые, двухклеточные, с удлинённой генеративной клеткой серповидной формы с заострёнными концами (рис. 4), что Е.Л. Кордюм считает систематическим признаком представителей рода *Paeonia* L. [9]. Изредка встречались крупные четырёхпоровые пыльцевые зерна с генеративной клеткой S-образной формы. Среди нормальных наблюдали также пыльцевые зерна с двумя равнозначными клетками, с двумя ядрами вегетативной клетки и с ядрами, подобными реституционным (рис. 3, *Б*).

Стенка зрелого пыльника состоит из эпидермиса, нерегулярно двуслойного фиброзного эндотеция и нескольких средних слоёв (рисунки 4, 5). Ядра в клетках эндотеция долгое время сохраняются, но в зрелом пыльнике лизируются. Клетки средних слоев содержат фиброзу (рис. 5), что характерно и для других видов рода *Paeonia* L. [27]. В таком случае, по мнению Э.С. Терёхина, Т.Б. Батыгиной и И.И. Шамрова [20], следует говорить о многослойной ткани эндотеция, что вполне справедливо, учитывая функцию фиброзного эндотеция.

Интересно отметить, что у *P. tenuifolia* фиброзные утолщения и фиброзные пояса образуются не только в эндотеции и средних слоях, но и в клетках паренхимы связника. Это является, по-видимому, приспособительным механизмом к вскрытию пыльника продольной щелью и рассеиванию пыльцы (рис. 5).

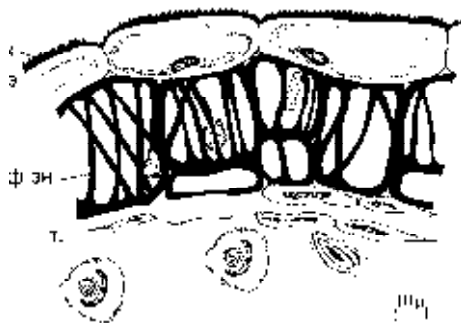


Рис. 4. Фрагмент зрелого пыльника
Fig. 4. Fragment of mature anther

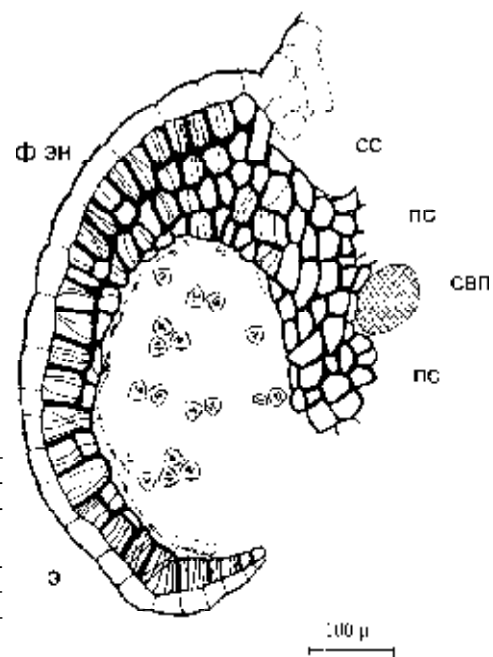


Рис. 5. Схема гнезда зрелого пыльника: СВП — сосудисто-волокнистый пучок; ПС — паренхима связника, СС — средний слой, ф эн — фиброзный эндотеций, э — эпидермис
Fig. 5. Chart of mature antherlobe: СВП — vascular-fibrous bundle; ПС — connectives parenchyma, СС — middle layer, ф эн — fibrou endotecium, э — epidermis

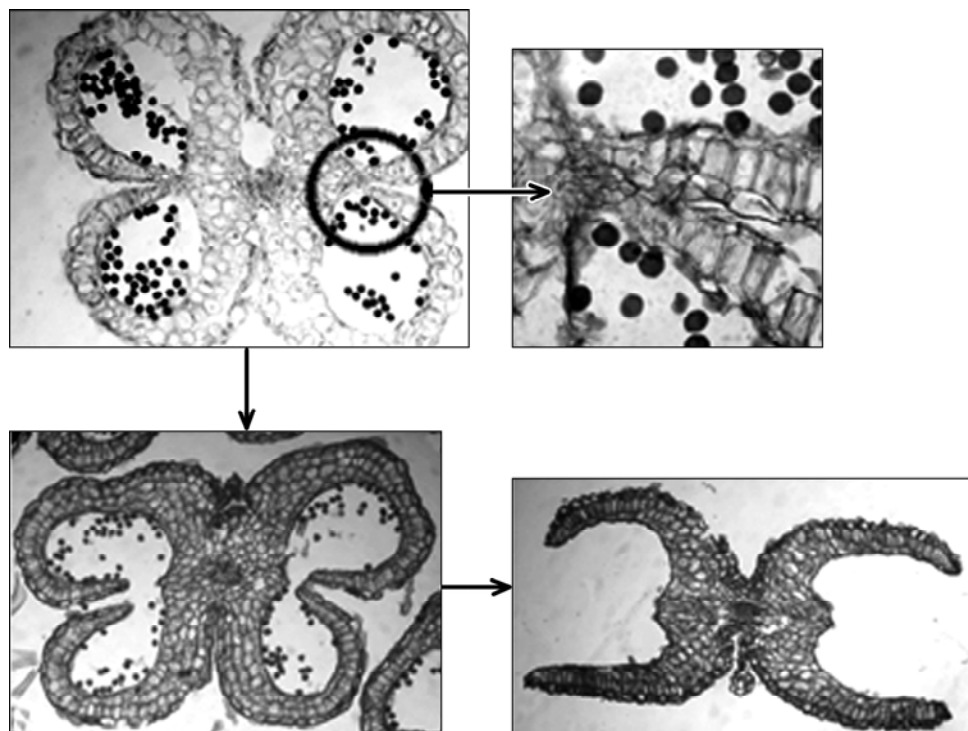


Рис. 6. Последовательные стадии вскрытия пыльника *P. tenuifolia* (поперечный разрез)
Fig. 6. Subsequent stages of anther's dehiscence in *P. tenuifolia* (cross-section cut)

Перегородка между соседними гнездами представлена семью — восемью клетками (рис. 6), которые затем лизируются, объединяя гнезда в одну теку, после чего пыльник растрескивается.

Большая часть зрелой пыльцы *P. tenuifolia* представлена морфологически нормальными и жизнеспособными пыльцевыми зернами, о чем свидетельствуют результаты проращивания пыльцы на искусственных средах [11]. Но имеется и дефективная пыльца, относительный показатель количества которой (в среднем образце) к концу цветения популяции (третья декада мая) увеличивается от 12 до 40 %.

Выводы

Таким образом, развитие мужской генеративной сферы *P. tenuifolia* от дифференциации археспория до рассеивания пыльцы длится 6—6,5 месяцев. Формирование стенки микроспорангия и дифференциация спорогенной ткани происходят в почках возобновления в год, предшествующий цветению, а последующие этапы развития пыльника — в бутонах. В мужской генеративной сфере *P. tenuifolia* установлены признаки, общие для видов рода *Paeonia* L.: дифференциация многоклеточного археспория, центробежный тип формирования стенки микроспорангия, симультанный тип формирования тетрады микроспор, двуклеточные пыльцевые зерна, наличие фиброзы в эндотекии и средних слоях. В то же время исследуемый вид имеет свойственные ему характерные особенности: нерегулярно двуслойный эндотекий и фиброзные утолщения не только в эндотекии, но и в стенах клеток паренхимы связника.

В ходе микроспоро- и гаметофитогенеза *P. tenuifolia* в пределах изучаемой популяции отмечены нарушения, приводящие к образованию определенного количества дефективных пыльцевых зёрен (12—40 %), что может отразиться на последующих стадиях репродуктивного процесса и, по-видимому, является одной из причин, обуславливающих реальную семенную продуктивность *P. tenuifolia* менее 45 % [12].

1. Агроклиматический справочник по Крымской области. — Л.: Гидрометеоиздат, 1959. — 135 с.
2. Батыгина Т.Б., Бутенко Р.Г. Морфогенетические потенции зародыша покрытосеменных растений (на примере представителей рода *Paeonia*, сем. *Paeoniaceae*) // Ботан. журн. — 1981. — 66, № 11. — С. 1531—1548.
3. Брюхин В.Б. Некоторые аспекты эмбриогенеза *Paeonia* L. (*Paeoniaceae*) // Тр. IV молод. конф. ботаников Санкт-Петербурга. — С.-Пб., 1993. — С. 37—43.
4. Важсов В.И. Агроклиматическое районирование Крыма // Тр. Никит. ботан. сада. — 1977. — 31. — С. 92—120.
5. Голубева И.В., Галушко Р.В., Кормилицин А.М. Методические указания по фенологическим наблюдениям над деревьями и кустарниками при их интродукции на юге СССР. — Ялта, 1977. — 25 с.
6. Журавель Н.М. Інтродукція рідкісних видів роду *Paeonia* L. у Ботанічному саду ім. акад. О.В. Фоміна Київського університету ім. Тараса Шевченка // Вісн. КНУ ім. Т. Шевченка. Інтродукція та збереження рослинного різноманіття. — К.: ВПЦ «Київський університет», 2003. — Вип. 6. — С. 15—16.

7. Козак Т.А. Экспозиции ботанико-географического участка «Крым» в НБС им. Н.Н. Гришико НАН Украины // Інтродукція рослин. — 2006. — № 2. — С. 32—35.
8. Конвенція про охорону дикої флори і фауни та природних середовищ існування в Європі (Берн, 1979). — К., 1998. — 76 с.
9. Кордюм Є.Л. Порівняльно-ембріологічне дослідження родини жовтецевих — *Ranunculaceae* D.C. // Укр. ботан. журн. — 1959. — № 1. — С. 32—43.
10. Куковица Г.С. Интродукция редких видов флоры Горного Крыма в Ботаническом саду Киевского университета // Сб. VIII Съезда УБО (Ивано-Франковск). — Киев: Наук. думка, 1987. — С. 227.
11. Марко Н.В. Антэкология и семенная продуктивность *Paeonia tenuifolia* L. (Paeoniaceae) в Крыму // Вісн. Запор. держ. ун-ту. Біол. науки. — 2004. — № 1. — С. 136—140.
12. Марко Н.В., Шевченко С.В. О естественном возобновлении *Adonis vernalis* L. и *Paeonia tenuifolia* L. в Крыму // Тр. Никит. ботан. сада. — 2005. — Вып. 125. — С. 88—98.
13. Мельник В.І., Грищенко В.В., Перегрим М.М. Ценопопуляції *Paeonia tenuifolia* L. (Paeoniaceae) в степових культурфітоценозах // Інтродукція рослин. — 2003. — № 1—2. — С. 9—14.
14. Москов И.В. О развитии зародыша у некоторых видов пионов // Ботан. журн. — 1964. — № 69, № 6. — С. 887—894.
15. Немирович-Данченко Е.Н. Цветение и опыление пионов при интродукции в условиях Ленинграда // Ботан. журн. — 1979. — № 64. — С. 1139—1146.
16. Паучева З.П. Практикум по цитологии растений. — М.: Агропромиздат, 1988. — 271 с.
17. Поддубная-Арнольди В.А. Цитоэмбриология покрытосеменных растений. Основы и перспективы. — М.: Наука, 1976. — 508 с.
18. Резникова С.А. Цитология и физиология развивающегося пыльника. — М.: Наука, 1984. — 272 с.
19. Собко В.Г., Гапоненко М.Б. Інтродукція рідкісних і зникаючих рослин флори України. — К.: Наук. думка, 1996. — 281 с.
20. Терехин Э.С., Батыгина Т.Б., Шамров И.И. Новый подход к классификации типов формирования стенки микроспорангия // Эмбриол. цветковых раст. Терминол. и концепции. Т. 1. Генеративные органы цветка / Под ред. Т.Б. Батыгиной. — С.-Пб.: Мир и семья, 1994. — С. 140—176.
21. Червона книга України. Рослинний світ / За ред. Ю.Р. Шеляга-Сосонка. — К.: УЕ, 1996. — 602 с.
22. Шамров И.И. Развитие семязачатка и семени у *Paeonia lactiflora* (Paeoniaceae) // Ботан. журн. — 1997. — № 6. — С. 24—46.
23. Шевченко С.В., Ругузов И.А., Ефремова Л.М. Методика окраски постоянных препаратов метиловым зелёным и пиронином // Бюл. Никит. ботан. сада. — 1986. — Вып. 66. — С. 99—101.
24. Шевченко С.В., Чеботарь А.А. Особенности эмбриологии маслины европейской (*Olea europaea*) // Тр. Никит. ботан. сада. — 1992. — № 113. — С. 52—61.
25. Яковлев М.С., Иоффе М.Д. Особенности эмбриогенеза рода *Paeonia* // Ботан. журн. — 1957. — № 42. — С. 1491—1503.
26. Яковлев М.С., Иоффе М.Д. Дальнейшее изучение нового типа эмбриогенеза покрытосеменных // Ботан. журн. — 1961. — № 46. — С. 1402—1421.
27. Яковлев М.С., Иоффе М.Д. Эмбриология некоторых представителей рода *Paeonia* L. // Морфология цветка и репродуктивный процесс у покрытосеменных растений / Под ред. М.С. Яковleva. — М.; Л: Наука, 1965. — С. 140—176.
28. Carniel K. Über die Embryobildung in der Gattung *Paeonia* — Österreichische Botanische Zeitschrift. — 1967. — Bd. 114. — S. 4—19.
29. Cave M.S., Arnott H.J., Cook S.A. Embryogeny in the California peonies with reference to their taxonomic position // American Journ. Bot. — 1961. — № 48. — P. 397—404.
30. Eschrich W. Untersuchungen über den Ab- und Aufbau der Callose. III. Mitteilung über Callose // Ztschr. Bot. — 1961. — Bd. 49. — S. 153—157.

31. Murgai Prem. Embryology of *Paeonia* together with a discussion on its systematic position // Plant. Embryology, a symposium. — 1962. — P. 215—223.
32. Murgai Prem. The development of the embryo in *Paeonia* — a reinvestigation // Phytomorphology. — 1959. — 9, № 3. — P. 275—277.
33. Schaffel K. Untersuchungen über den blutenbau der Ranunculaceen // Planta archive für wissenschaftliche Botanik. — 1932. — Bd. 17. — P. 315—371.
34. Tiagi Y.D. Paeoniaceae // Bull. of the Indian National Science Academy. — 1970. — № 41. — P. 45—52.
35. Walters J.L. Megasporogenesis and gametophyte selection in *Paeonia californica* // American Journ. of Bot. — 1962. — № 49. — P. 787—794.

Рекомендует в печать
Е.Л. Кордюм

Поступила 23.07.2007

H.B. Марко, С.В. Шевченко

Нікітський ботанічний сад — Національний науковий центр, м. Ялта, АР Крим

**ОСОБЛИВОСТІ ЧОЛОВІЧОЇ ГЕНЕРАТИВНОЇ СФЕРИ
У *PAEONIA TENUIFOLIA* L. (PAEONIACEAE)**

Наведені результати дослідження розвитку чоловічих генеративних структур *Paeonia tenuifolia* у природних умовах. Виділені як загальні для *Paeonia* L., так і характерні для *P. tenuifolia* ембріологічні ознаки. Описані норма і порушення при мейозі та формуванні пилку.

Ключові слова: *Paeonia tenuifolia*, *квітка*, *мікроспорангій*, *спорогенна тканина*, *мікроспороцити*, *мікроспори*, *пилкові зерна*.

N.V. Marco, S.V. Shevchenko

Nikita Botanical Gardens — National Scientific Center, Yalta, Crimea

**PECULIARITIES OF THE MALE GENERATIVE SPHERE
IN *PAEONIA TENUIFOLIA* L. (PAEONIACEAE)**

Results of investigations of male gametophytes formation in *Paeonia tenuifolia* under natural growth conditions are discussed in the article. Embryological characters typical for *P. tenuifolia* and distinguishing it from other species of the genus *Paeonia* L. are identified. The normal process of pollen formation and its deviations are described.

Key words: *Paeonia tenuifolia*, *flower*, *microsporangium*, *archesporium*, *sporogenous cell*, *microsporocytes*, *microspores*, *pollen grains*.